

# 异源 nifA<sup>C</sup> 对根癌土壤杆菌 nif 基因表达的调节作用

张金玲 张静娟 \*

(中国科学院微生物研究所 北京 100080)

**摘要** 用三亲交配方法分别将载有褐球固氮菌 (*Azotobacter chroococcum*) 呈组成型表达的 nifAC 的质粒 pCK5 和肺炎克氏杆菌 (*Klebsiella pneumoniae*) 含有 nifA<sup>C</sup> 和 nifA-ntrC 基因的质粒 pCK3, pSZ36 和 pSZ23-CA 导入根癌土壤杆菌 (*Agrobacterium tumefaciens*) C58/pGV3850, 所得转移接合子的生长速率和野生型相似。在 10 mmol/L NH<sub>4</sub><sup>+</sup> 浓度下, Western blotting 测出 *A. tumefaciens* C58/pGV3850(pCK5) 有固氮酶合成, 乙炔还原法测定固氮酶活性恢复分别为 73%, 24%, 11% 和 62%。这些结果表明, 褐球固氮菌和肺炎克氏杆菌的固氮调节基因对土壤杆菌固氮基因表达有调节作用。其中, 褐球固氮菌 nifA<sup>C</sup> 的调节功能最强 (73%), 其次是肺炎克氏杆菌 nifA 和 ntrC 的融合子 (62%), 肺炎克氏杆菌 nifA<sup>C</sup> 的调节功能较弱 (24%, 11%)。

**关键词** nif 基因表达, 异源 nifA<sup>C</sup> 调节, 耐 NH<sub>4</sub><sup>+</sup> 的转移接合子, 根癌土壤杆菌

根癌土壤杆菌是生活在许多植物根际周围的土著微生物, 与根瘤菌同属于根瘤菌科 (Rhizobiaceae)。它在《伯杰细菌鉴定手册》中被认为不能固定空气中的氮而列入土壤杆菌属。1990 年以后, 英国 Sastry<sup>[1]</sup> 实验室和我们实验室<sup>[2,3]</sup> 相继测到了根癌土壤杆菌的自生固氮活力, 并用 Western 免疫印迹和 Southern 印迹技术分别测到了类似肺炎克氏杆菌的固氮酶铁蛋白和相应的结构基因 nifHDK<sup>[2]</sup>, 以及调节基因 nifA (未发表资料)。该菌与其它固氮微生物一样, 固氮基因也受 NH<sub>4</sub><sup>+</sup> 和氧的阻遏<sup>[3]</sup>。固氮调节作用的研究指出, nifA 基因产物 NifA 引起 NH<sub>4</sub><sup>+</sup> 存在下固氮酶合成的去阻遏作用<sup>[4]</sup>, 对同一受体引入不同来源 nifA<sup>C</sup> 和不同启动子的载体质粒, 其 nifA 的调节效应可能不一样<sup>[5]</sup>。在不同微生物中, nifA 转录的调节方式亦有不同<sup>[6,7]</sup>, 在肺炎克氏杆菌和固氮根瘤菌 (*Azorhizobium caulinodans*) 中, 固氮酶结构基因启动子受 nifA 和 ntrC 串联激活。在 NH<sub>4</sub><sup>+</sup> 浓度低时, ntrB 的激酶使 NtrC 磷酸活化为 NtrC-P, NtrC-P 激活 nifLA 的转录, 在 NH<sub>4</sub><sup>+</sup> 过量时, ntrB 的磷酸酯酶使 NtrC-P 去磷酸化, 不能激活 nifLA, 慢生大豆根瘤菌 (*R. japonicum*) nifA 的表达则不受 ntrC 系统控制。本文报道的是固氮的根癌土壤杆菌 C58/pGV3850 的 nif 调节, 考查和比较褐球固氮菌 nifA<sup>C</sup> 和肺炎克氏杆菌 nifA<sup>C</sup> 及 nifA-ntrC 对 C58/pGV3850nif 基因的去 NH<sub>4</sub><sup>+</sup> 阻遏效应。

国家自然科学基金 (39270024) 资助项目。

\* 通讯联系人。

本文于 1996 年元月 4 日收到。

## 1 材料和方法

### 1.1 细菌菌株与质粒(见表 1)

表 1 菌株和质粒

Table 1 Strains and plasmids

Strains/plasmids	Relevant characters		Source
<i>A. tumefaciens</i>	Ap <sup>r</sup>	Rif <sup>r</sup>	Van Montagu
C58/pGV3850			
pCK3	Km <sup>r</sup> <i>K. pneumoniae</i> nifA		Kennedy <sup>[8]</sup>
pCK5	Km <sup>r</sup> , <i>A. chroococcum</i> nifA		Li J D
pSZ36	Cm <sup>r</sup> , Km <sup>r</sup> , <i>K. pneumoniae</i> 'Tn5::nifA'		Jiang Q Y <sup>[9]</sup>
pRK2013	Km <sup>r</sup> , tra, helper plasmid		Figurski <sup>[10]</sup>
pSZ23-CA	Cm <sup>r</sup> , <i>K. pneumoniae</i> 'ntrC-nifA'		You C B

### 1.2 菌株生长条件

根癌土壤杆菌 C58/pGV3850 在含利福平(100μg/μl)的改良克氏杆菌无氮培养基<sup>[11]</sup>中(液体培养基含 0.1% 酵母粉, 固体培养基不含)30℃ 培养, 含质粒 pCK5, pCK3, pSZ36, pSZ23-CA 的大肠杆菌在含卡那霉素(50μg/μl)的 LB 培养基中 37℃ 培养。

### 1.3 接合转移

外源 nifA 基因对 *A. tumefaciens* C58/pGV3850 的导入按文献[12]的三亲交配方法进行。

### 1.4 *K. pneumoniae* nifA-ntrC 片段 DNA 转化

转化 *E. coli* HB101 按文献[13]所述方法进行。

### 1.5 质粒提取

大肠杆菌小质粒和根癌土壤杆菌 C58/pGV3850 大质粒的提取均按文献[14]中所述的碱法提取方法进行, 大质粒的提取过程应注意温和操作。

### 1.6 DNA 杂交

按 Zeta-probe 印迹膜说明书中碱印迹法进行。

### 1.7 蛋白浓度测定

按 Bradford<sup>[14]</sup>的考马斯亮蓝法进行。

### 1.8 SDS 聚丙烯酰胺凝胶电泳及蛋白免疫印迹

按文献[15]所述方法进行菌体蛋白质电泳, 分离胶浓度为 10%, 浓缩胶浓度为 4%。电泳开始电流强度为 10mA, 待样品进入分离胶后电流升至 15mA, 电泳结束后, 用硝酸纤维素膜进行蛋白免疫印迹。封闭液为 1.5% BSA, I 抗为 *K. pneumoniae* 菌的固氮酶铁蛋白, II 抗为磷酸化酶的羊抗兔 IgG 抗血清, 显色剂(二氨基联苯胺)用磷酸化酶缓冲液(mmol/L)(NaCl 100, MgCl<sub>2</sub> 5, Tris, HCl 100, pH 9.5)配制。

### 1.9 固氮酶活性测定

按文献[3]固氮酶活性的乙炔还原法测定。

## 2 结果与讨论

### 2.1 携带外源 nifA<sup>C</sup> 基因的质粒与 *A. tumefaciens* C58/pGV3850 间的接合转移

**2.1.1 转移频率及转移接合子的生长速率:** 在辅助质粒 pRK2013 的协助下分别将携带 *A. chroococcum* nifA 的质粒 pCK5 和带有 *K. pneumoniae* nifA, nifA-ntrC 基因的质粒 pCK3, pSZ36, pSZ23-CA 导入 *A. tumefaciens* C58/pGV3850, 在相应的选择压力下获得转移接合子, 其转移频率分别为  $5.5 \times 10^{-4}$ ,  $1.2 \times 10^{-7}$ ,  $8.6 \times 10^{-7}$ ,  $4.1 \times 10^{-4}$ 。转移接合子和野生型菌株在无氮基本培养基中的生长速率相近(世代时间均为 2h 左右, 数据未列), 说明外源基因的引入不影响宿主生长。

**2.1.2 转移接合子的琼脂糖电泳分析:** 将上述获得的一类转移接合子 C58/pGV3850 (pCK5) 在选择培养基上传播约 2000 代以后, 提取其质粒在 0.7% 琼脂糖凝胶电泳上分

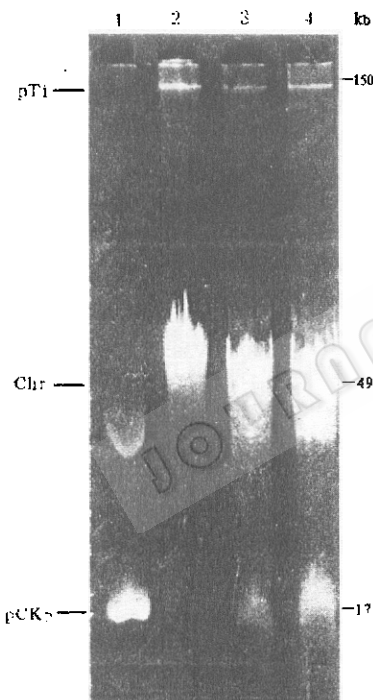


图 1 转移接合子质粒的琼脂糖凝胶电泳

Fig. 1 Electrophoresis analysis of transconjugants

- 1. *E. coli* HB101/pCK5, 2. C58/pGV3850,
- 3. C58/pGV3850(pCK5)1,
- 4. C58/pGV3850(pCK5)2

析, 结果见图 1。图中 3, 4 的电泳带谱中除受体菌 C58/pGV3850 中的大质粒外, 还有供体菌 *E. coli* HB101/pCK5 的小质粒 pCK5。说明携带外源基因 nifA 的质粒 pCK5 在转移接合子 C58/pGV3850(pCK5) 中稳定存在。

### 2.2 外源 nifA<sup>C</sup> 和 nifA-ntrC 融合基因在 *A. tumefaciens* C58/pGV3850 中的表达

**2.2.1 转移接合子固氮酶活性分析:** 将前述得到的转移接合子分别在含有 10mmol/L, 20mmol/L NH<sub>4</sub><sup>+</sup> 的无氮基本培养基中培养至对数生长期(14h), 按常规测定它们的固氮酶活性, 结果(见表 2 和图 2)表明, 受体菌在 10mmol/L NH<sub>4</sub><sup>+</sup> 时全部丧失活性, 含质粒 pCK5, pCK3, pSZ36 和 pSZ23-CA 的转移接合子均有不同程度的耐 NH<sub>4</sub><sup>+</sup> 特性, 说明外源调节基因对根癌土壤杆菌固氮基因表达有正互补调节作用。其中, 质粒 pCK5 的调节作用最强, 转移接合子在 10mmol/L NH<sub>4</sub><sup>+</sup> 浓度时, 固氮酶活性恢复达 72%, 100mmol/L NH<sub>4</sub><sup>+</sup> 浓度时仍有微弱的活性(固氮酶活性相当于无 NH<sub>4</sub><sup>+</sup> 时的 3.4%); 其次是 pSZ23-CA, 转移接合子在 10mmol/L NH<sub>4</sub><sup>+</sup> 浓度时, 固氮酶活性恢复 62%; pSZ36 和 pCK3 的调节作用较弱。

表 2 转移接合子在不同  $\text{NH}_4^+$  浓度下的固氮酶活性Table 2  $\text{N}_2\text{ase}$  activity of transconjugants in the presence of ammonia

Strains	$[\text{NH}_4^+]$ (mmol/L)		
	0	10	20
C58/pGV3850(pCK5)	1183	927	687
C58/pGV3850(pCK3)	710	303	0
C58/pGV3850(pSZ36)	1017	140	0
C58/pGV3850(pSZ23-CA)	1193	733	273
C58/pGV3850	1267	0	0

Note: 1.  $\text{N}_2\text{ase}$  activity unit is showed by  $\text{nmol C}_2\text{H}_4 \text{ ml}^{-1} \cdot \text{h}^{-1} \cdot \text{mg protein}^{-1}$ ,

2. The values of above table are average of three tests,

3. Transconjugants are named by acceptor name (donor name).

上述结果表明, *A. tumefaciens* C58/pGV3850 中可能存在 nifA 和 ntrC 类似基因。这一结果与先前本实验室用分子杂交证明 C58 中存在 nifA 类似基因(未发表资料)及德国 Rossbach 等人<sup>[16]</sup>报道 C58 存在 ntr 调节系统的事是相一致的。它的固氮基因表达调节机制可能与肺炎克氏杆菌和慢生型大豆根瘤菌相似, 存在 nifA-ntrC 的串联调节机制<sup>[6,7]</sup>。因此, 当引入 *K. pneumoniae* nifA-ntrC 融合片段时, 调节和恢复固氮酶活性(62%)的效果高于单独 nifA(24%)的作用。结果也预示了根癌土壤杆菌在生物系统发育过程中, 韧球固氮菌的关系可能比肺炎克氏杆菌更近些, 前者的 nifA 对根癌土壤杆菌 nif 表达的调节更强, 表明它们的 nifA 序列同源程度可能高。

2.2.2 转移接合子固氮酶蛋白的免疫印迹(Western blotting)分析: 将上述菌株传接约 2000 代, 经气相色谱分析证明有耐  $\text{NH}_4^+$  功能的转移接合子 C58/pGV3850(pCK5) 在含 10mmol/L  $\text{NH}_4^+$  的无氮基本培养基上培养至对数期, 菌体经 SDS 裂解, 离心, 上清液进行 SDS-PAGE 电泳和以 *K. pneumoniae* 固氮酶铁蛋白为 I 抗的免疫印迹分析(见图 3)。结果表明, 对照菌 C58/pGV3850(见图 3-2, 4)在 10mmol/L  $\text{NH}_4^+$  时, 固氮酶铁蛋白的合成受阻, 而转移接合子 C58/pGV3850(pCK5) 在 10mmol/L  $\text{NH}_4^+$  时仍有固氮酶铁蛋白合成(见图 3-3, 5)。

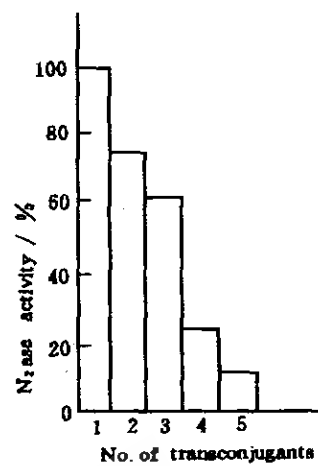


图 2 转移接合大在 10mmol/L  $\text{NH}_4^+$  时固氮酶活性恢复示意图

Fig. 2  $\text{N}_2\text{ase}$  Activity restoration of transconjugants in 10mmol/L ammonia

1. C58/pGV3850 (in 0mmol/L  $\text{NH}_4^+$ )
2. C58/PGV3850(pCK5) (in 10mmol/L  $\text{NH}_4^+$ )
3. C58/pGV3850 ( pSZ23-CA ) ( in 10mmol/L  $\text{NH}_4^+$  )
- 4, 5. C58/pGV3850 ( pCK3 ) ( in 10mmol/L  $\text{NH}_4^+$  )

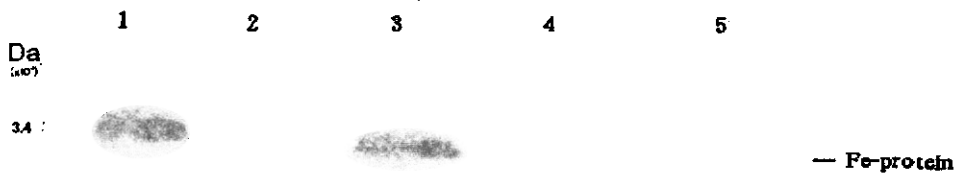


图 3 转移接合子固氮酶铁蛋白的免疫印迹

Fig. 3 Western blotting analysis of Fe-protein from transconjugants (in 0 mmol/L NH<sub>4</sub><sup>+</sup>)

1. C58/pGV3850, 2, 4. C58/pGV3850, 3, 5. C58/pGV3850(pCK5) (in 10 mmol/L NH<sub>4</sub><sup>+</sup>)

致谢 感谢中国农科院原子能研究所尤崇杓教授、中国农业大学李季伦教授和中国科学院植物研究所李久蒂教授给予本工作中的实验材料支持和有益讨论。

### 参 考 文 献

- [1] Kanvinde L, Sastry G R K. Appl Environ Microbiol, 1990, 56(7):2087~2092.
- [2] 张静娟, 王丽, 李丽娜等, 科学通报, 1992, 37(18):1725.
- [3] 王丽, 张静娟, 微生物学报, 1994, 34(5):385~392.
- [4] 朱家壁, 俞冠翘, 江群益等, 中国科学(B辑), 1983, 8:688~696.
- [5] 张耀平, 李季伦, 微生物学报, 1991, 31(5):338~345.
- [6] Alvarez-Morales A, Hennecke H. Mol Gen Genet, 1985, 199:306~314.
- [7] Hans-Martin F. Microbiol Rev, 1994, 58(3):352~386.
- [8] Kennedy C, Drummond M H. J Gen Microbiol, 1985, 131:1787~1795.
- [9] 江群益, 周宗汉等, 科学通报, 1990, 35(4):302~305.
- [10] Figurski D H, helinski D R. Proc Natl Acad Sci USA, 1979, 76:1648~1652.
- [11] Hill S. J Gen Microbiol, 1976, 93:335~345.
- [12] Buchanan-Wollaston V, Cannon M C, Beynon J L et al. Nature, 1981, 294:776~778.
- [13] Sambrook J, Fritsch E F, Maniatis T. Molecular cloning: A laboratory Manual, Cold Spring Harbor Laboratory Press. 1989.
- [14] Bradford M M. Anal Biochem, 1976, 72:248~254.
- [15] 李永兴, 胡长征, 王维文等, 生物化学与生物物理进展, 1991, 18:242~243.
- [16] Rossbach S, Scheu J, Bruijn de F J. Mol Gen Genet, 1987, 209:419~426.

## Role of the Heterologous *nifA<sup>C</sup>* Product in the Regulation of *nif* Expression in *Agrobacterium tumefaciens*

Zhang Jinling      Zhang Jingjuan

(Institute of Microbiology, Academia Sinica, Beijing 100080)

**Abstract** The plasmid pCK5, pCK3, pSZ36 and pSZ23-CA which carried constitutive *nifA<sup>C</sup>* gene of *Azotobacter chroococcum* and *Klebsiella pneumoniae* were transferred into *A. tumefaciens* C58/pGV3850 with triparental mating. The growth rate of these transconjugants was similar to the wild type. Nitrogenase synthesis was demonstrated by Western blotting, in the presence of 10mmol/L NH<sub>4</sub><sup>+</sup>, and the nitrogenase activity was restored to 73%, 24%, 11% and 62%, respectively. The results showed that the regulation gene of nitrogen fixation in *A. chroococcum* and *K. pneumoniae* played a regulative role for the expression of nitrogen fixation gene from *A. tumefaciens*. Among them, the role of *A. chroococcum* *nifA<sup>C</sup>* gene was the strongest, the fusion plasmid pSZ23-CA which carried *nifA-ntrC* gene of *K. pneumoniae* was stronger and the *nifA<sup>C</sup>* gene of *K. pneumoniae* was weak.

**Key words** *nif* expression, role of heterologous *nifA<sup>C</sup>*, NH<sub>4</sub><sup>+</sup>-tolerant transconjugants, *Agrobacterium tumefaciens*